

Expérience de Stern et Gerlach et décohérence: l'ordinateur quantique est-il vraiment possible?

Michel Gondran¹ Alexandre Gondran²

¹University Paris Dauphine
Lamsade, Paris, France

²Ecole Nationale de l'Aviation Civile
Toulouse, France

Cnam 7 Mai 2012

- 1985 David Deutsch : Feasibility of parallel quantum computer.
- 1994 & 1996 Peter W. Shor, L. Grover : Quantum polynomial-time algorithms.
- 2001 Isaac L. Chuang & al : A 7 qubit computer using the NMR technique and Shor's algorithm to factor the number 15.
- 2002 Chuang abandons the NMR technique.
- > Main difficulty : **decoherence destroys superposition states.**
 - > Objective : **understanding of decoherence and existence of spin-based qubit.**
- 1922 Stern-Gerlach experiment : quantization of the spin through spatial quantization.

How to explain quantization of the spin ?

- Either by the measurement postulates of quantum theory
- Either by Pauli equation with spatial extension of the spinor

Representation of the particle with spin

- Spinor complete with **spatial extension**

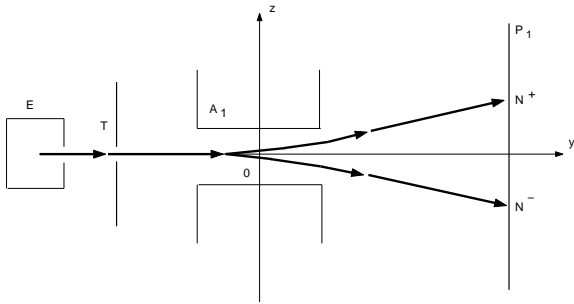
$$\Psi^0(z) = (2\pi\sigma_0^2)^{-\frac{1}{4}} e^{-\frac{z^2}{4\sigma_0^2}} \begin{pmatrix} \cos \frac{\theta_0}{2} e^{-i\frac{\varphi_0}{2}} \\ \sin \frac{\theta_0}{2} e^{i\frac{\varphi_0}{2}} \end{pmatrix} \quad (1)$$

- Simplified spinor used in quantum information (qubit)

$$\Psi^0 = \begin{pmatrix} \cos \frac{\theta_0}{2} e^{-i\frac{\varphi_0}{2}} \\ \sin \frac{\theta_0}{2} e^{i\frac{\varphi_0}{2}} \end{pmatrix}. \quad (2)$$

- ① Stern-Gerlach experiment
- ② Decoherence in Stern-Gerlach experiment
- ③ Demonstration postulats quantification, décomposition spatiale
- ④ Impacts and quantization explained by trajectories
- ⑤ Conclusion on quantum computer

Stern-Gerlach experiment

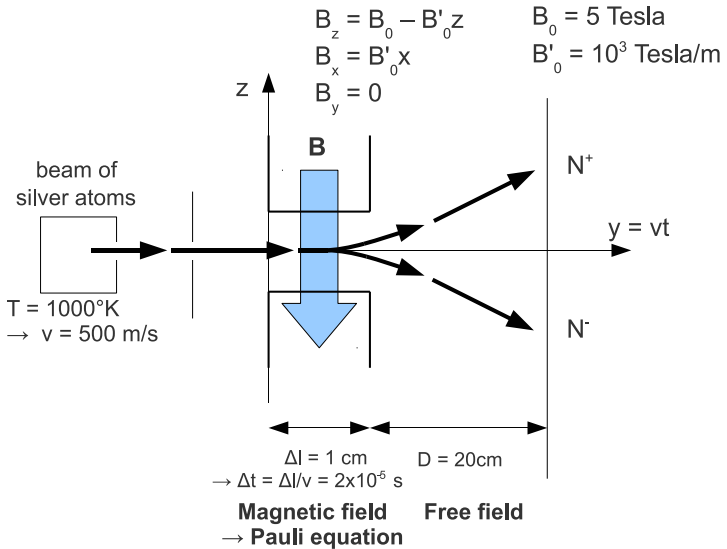


$$\Psi^0(z) = (2\pi\sigma_0^2)^{-\frac{1}{4}} e^{-\frac{z^2}{4\sigma_0^2}} \begin{pmatrix} \cos \frac{\theta_0}{2} e^{-i\frac{\varphi_0}{2}} \\ \sin \frac{\theta_0}{2} e^{i\frac{\varphi_0}{2}} \end{pmatrix} \quad (3)$$

- **pure state** : θ_0 and φ_0 fixed
- **mixed states** : θ_0 and φ_0 randomly drawn

$$\sigma_0 = 10^{-4} \text{ m}$$

Stern-Gerlach experiment



Stern-Gerlach experiment

- Pauli equation for spinor $\Psi = \begin{pmatrix} \psi_+ \\ \psi_- \end{pmatrix}$ in magnetic field \mathbf{B} :

$$i\hbar \begin{pmatrix} \frac{\partial \psi_+}{\partial t} \\ \frac{\partial \psi_-}{\partial t} \end{pmatrix} = -\frac{\hbar^2}{2m} \Delta \begin{pmatrix} \psi_+ \\ \psi_- \end{pmatrix} + \mu_B \mathbf{B} \boldsymbol{\sigma} \begin{pmatrix} \psi_+ \\ \psi_- \end{pmatrix} \quad (4)$$

- $\mu_B = \frac{e\hbar}{2m_e}$: Bohr magneton
- $\boldsymbol{\sigma} = (\sigma_x, \sigma_y, \sigma_z)$: Pauli matrices

- Pauli equation for spinor $\Psi = \begin{pmatrix} \psi_+ \\ \psi_- \end{pmatrix}$ in free space :

$$i\hbar \begin{pmatrix} \frac{\partial \psi_+}{\partial t} \\ \frac{\partial \psi_-}{\partial t} \end{pmatrix} = -\frac{\hbar^2}{2m} \Delta \begin{pmatrix} \psi_+ \\ \psi_- \end{pmatrix} \quad (5)$$

Decoherence in Stern-Gerlach experiment

Time in the magnetic field

$$\Delta t = \frac{\Delta l}{v} = 2 \times 10^{-5} s$$

After the magnetic field : at $t + \Delta t$

$$\Psi(z, t + \Delta t) \simeq (2\pi\sigma_0^2)^{-\frac{1}{4}} \begin{pmatrix} \cos \frac{\theta_0}{2} e^{-\frac{(z-z_\Delta-ut)^2}{4\sigma_0^2}} e^{i\frac{muz+\hbar\varphi_+}{\hbar}} \\ \sin \frac{\theta_0}{2} e^{-\frac{(z+z_\Delta+ut)^2}{4\sigma_0^2}} e^{i\frac{-muz+\hbar\varphi_-}{\hbar}} \end{pmatrix} \quad (6)$$

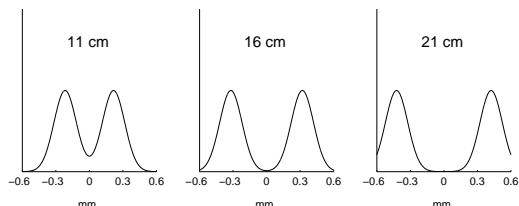
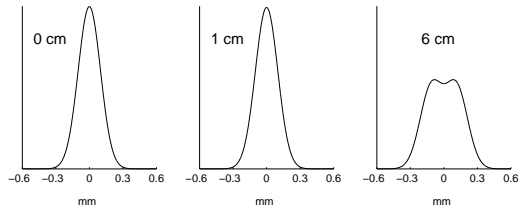
with

$$z_\Delta = \frac{\mu_B B'_0 (\Delta t)^2}{2m} = 10^{-5} m, \quad u = \frac{\mu_B B'_0 (\Delta t)}{m} = 1 m/s. \quad (7)$$

Decoherence in Stern-Gerlach experiment

$$\rho(z, t + \Delta t) \simeq (2\pi\sigma_0^2)^{-\frac{1}{2}} \frac{1}{2} \left(e^{-\frac{(z-z_{\Delta}-ut)^2}{2\sigma_0^2}} + e^{-\frac{(z+z_{\Delta}+ut)^2}{2\sigma_0^2}} \right) \quad (8)$$

$$y = vt$$



Decoherence in Stern-Gerlach experiment

The decoherence time

Spots N^+ and N^- appear : $y = vt > 16 \text{ cm}$

\Rightarrow the decoherence time :

$$t_D \simeq \frac{3\sigma_0 - z_\Delta}{u} = \frac{(3\sigma_0 - z_\Delta)mv}{\mu_B B'_0 \Delta l} = 3 \times 10^{-4} \text{ s.} \quad (9)$$

Marginal density matrix of spin variables of a pure state

$$\rho^S(z, t) = \begin{pmatrix} |\psi_+(z, t)|^2 & \psi_+(z, t)\psi_-^*(z, t) \\ \psi_-(z, t)\psi_+^*(z, t) & |\psi_-(z, t)|^2 \end{pmatrix} \quad (10)$$

When $t > t_D$:

$$\rho^S(z, t) \simeq \begin{pmatrix} |\psi_+(z, t)|^2 & 0 \\ 0 & |\psi_-(z, t)|^2 \end{pmatrix} \quad (11)$$

Decoherence in Stern-Gerlach experiment

How is the transformation done ?

mixed states

θ_0 and φ_0 randomly drawn



quantized mixture

$\theta_0 = \pi$ and $\theta_0 = 0$

quantization postulate of the measure

or

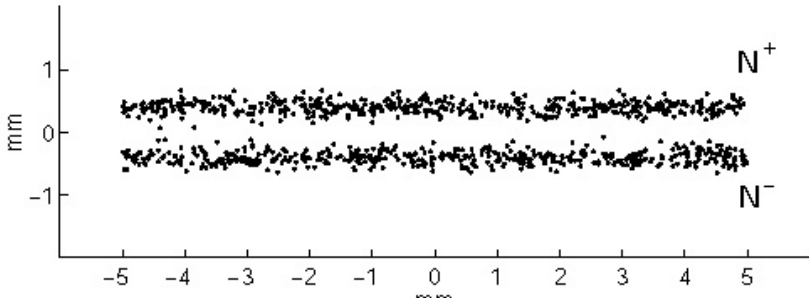
Pauli equation with spatial extension of the spinor

Démonstration postulats quantification, décomposition spatiale

Proof of the quantization postulate for $S_z = \frac{\hbar}{2}\sigma_z$

$$\Psi(z, t + \Delta t) \simeq (2\pi\sigma_0^2)^{-\frac{1}{4}} \begin{pmatrix} \cos \frac{\theta_0}{2} e^{-\frac{(z-z_\Delta-ut)^2}{4\sigma_0^2}} e^{i\frac{muz+\hbar\varphi_+}{\hbar}} \\ \sin \frac{\theta_0}{2} e^{-\frac{(z+z_\Delta+ut)^2}{4\sigma_0^2}} e^{i\frac{-muz+\hbar\varphi_-}{\hbar}} \end{pmatrix} \quad (12)$$

Experimentally, we measure the particle position \tilde{z}



Démonstration postulats quantification, décomposition spatiale

Proof of the quantization postulate for $S_z = \frac{\hbar}{2}\sigma_z$

$\tilde{z}_1 \in N^+$

$$\Psi(\tilde{z}_1, t + \Delta t) \simeq (2\pi\sigma_0^2)^{-\frac{1}{4}} \cos \frac{\theta_0}{2} e^{-\frac{(\tilde{z}_1 - z_\Delta - ut)^2}{4\sigma_0^2}} e^{i\frac{mu\tilde{z}_1 + \hbar\varphi_+}{\hbar}} \begin{pmatrix} 1 \\ 0 \end{pmatrix}$$

$\tilde{z}_2 \in N^-$

$$\Psi(\tilde{z}_2, t + \Delta t) \simeq (2\pi\sigma_0^2)^{-\frac{1}{4}} \sin \frac{\theta_0}{2} e^{-\frac{(\tilde{z}_2 + z_\Delta + ut)^2}{4\sigma_0^2}} e^{i\frac{-mu\tilde{z}_2 + \hbar\varphi_-}{\hbar}} \begin{pmatrix} 0 \\ 1 \end{pmatrix}$$

$\begin{pmatrix} 0 \\ 1 \end{pmatrix}$ et $\begin{pmatrix} 1 \\ 0 \end{pmatrix}$ sont les vecteurs propres de σ_z .

Démonstration postulats quantification, décomposition spatiale

Preuve du postulat de décomposition spatiale

Pour $t \geq t_D$ la densité de probabilité de l'état pur

$$\rho(z, t + \Delta t) = (2\pi\sigma_0^2)^{-\frac{1}{2}} \left(\cos^2 \frac{\theta_0}{2} e^{-\frac{(z-z_\Delta-ut)^2}{2\sigma_0^2}} + \sin^2 \frac{\theta_0}{2} e^{-\frac{(z+z_\Delta+ut)^2}{2\sigma_0^2}} \right) \quad (13)$$

admet comme support les deux taches N^- et N^+ .

On obtient une démonstration du **postulat de la décomposition spatiale** en intégrant l'équation (13) sur N^+ (resp. N^-) ; on trouve la probabilité $\cos^2 \frac{\theta_0}{2}$ (resp. $\sin^2 \frac{\theta_0}{2}$) de mesurer la particule dans l'état de spin $+\frac{\hbar}{2}$ (resp. $-\frac{\hbar}{2}$).

Initial spatial extension of the spinor

- initial density : $\rho^0(z) = (2\pi\sigma_0^2)^{-1} e^{-\frac{z^2}{2\sigma_0^2}}$.
- Classical particles of same density have the position z_0 randomly drawn in this density

The trajectories in de Broglie-Bohm interpretation

- velocity :

$$\mathbf{v} = \frac{\hbar}{2m\rho} \text{Im}(\Psi^\dagger \nabla \Psi) + \frac{\hbar}{2m\rho} \text{rot}(\Psi^\dagger \boldsymbol{\sigma} \Psi) \quad (14)$$

- Statistically identical to Copenhagen interpretation
- Explanation of individual impacts
- Explanation of spin quantization along the magnetic field gradient

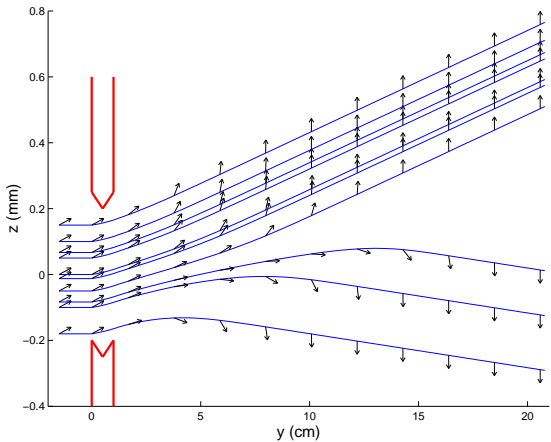
Impacts and quantization explained by trajectories

- Initial polarization :

$$\theta_0 = \frac{\pi}{3}$$

- Initial position : z_0

- Arrows = spin orientation : $\theta(z, t)$



- $+\frac{\hbar}{2}$ si $z_0 > z^{\theta_0}$

- where $z^{\theta_0} = \sigma_0 F^{-1}(\sin^2 \frac{\theta_0}{2})$

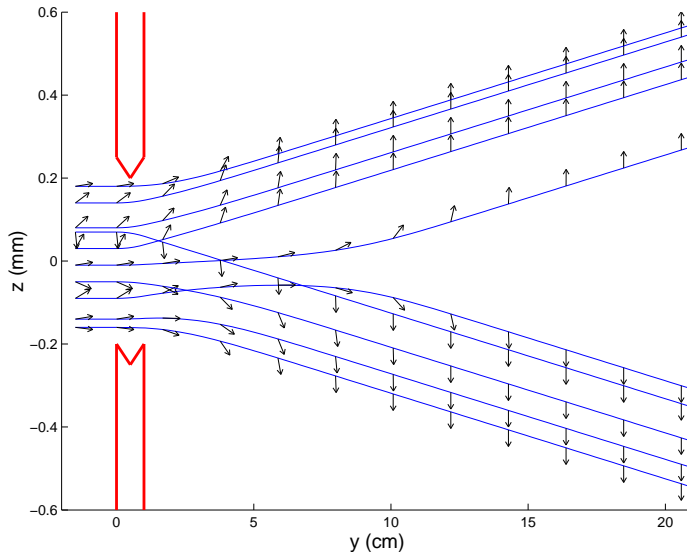
- $-\frac{\hbar}{2}$ si $z_0 < z^{\theta_0}$

where F is the distribution function of the standard normal distribution



Impacts and quantization explained by trajectories

Mixed states



Impacts and quantization explained by trajectories

- **The measured position** ⇒ postulates of quantum measurement
- **The spatial wave function**
- adding the position of the particle to the wave function ⇒ - impacts
- quantization process of spin

Interaction with the measuring apparatus

- Minimum time required to measure
- Different meaning than usual

Spin orientation

- By measuring apparatus
- Depending on the position of the particle in the wave packet
- Measuring time : time required for the particle to orient its spin in its final direction.



Conclusion on quantum computer

Première remarque

Les démonstrations expliquant le gain des algorithmes de Deutsch, Glover et Shor reposent sur une factorisation des calculs utilisant des qubits intriqués [1].

factorisations approchées

Ces factorisations sont exactes pour des spineurs sans extension spatiale, mais seulement approchées pour des spineurs réels avec extension spatiale.

manque de fiabilité

C'est certainement une raison du manque de fiabilité des résultats rencontré dans les expérimentations : il y a en effet toujours une erreur quantique, attribuée habituellement à l'environnement, et qu'on essaye de corriger par des codes détecteurs d'erreurs [2].



Conclusion on quantum computer

Remarque plus fondamentale

On doit se poser l'existence même du qubit bati sur le spin d'une particule.

Le qubit individuel n'existe pas, seul le qubit statistique existe.

La fonction d'onde n'est pas suffisante pour représenter l'état quantique. Il faut ajouter la position de la particule. Pour représenter un qubit, il faut donc deux particules , comme en mécanique classique. cf. Chuang .

informatique quantique

Critique de l'ordinateur quantique parallèle, non de l'informatique quantique : les pbs de secret semblent bien résolus grâce à l'intrication quantique.

Bibliography

- [1] Le Bellac, M., *Introduction à l'information quantique*, Belin, 2005.
- [2] N. David Mermin, *Calculs et algorithmes quantiques, méthodes et exemples*, EDP Sciences, Paris, 2010.
- [3] L. Vandersypen, M. Steffen, G. Breyta, C. Yannoni, M. Sherwood et I. Chuang, *Experimental realization of quantum Shor's factoring algorithm using nuclear magnetic resonance*, Nature, **414**, 883, 2001.
- [4] M. Gondran, and A. Gondran, *Quantum computer feasibility and quantum mechanics interpretation*, Annales de la Fondation Louis de Broglie **34** n°2, 131-141, 2009.
- [5] M. Gondran, and A. Gondran, *Spinor with spatial extension and quantum computer feasibility*, présenté à Frontiers of Fundamental Physics (FFP11), Paris, Juillet 2010, à paraître dans Frontiers of Fundamental Physics-11, AIP Conf. Proc. (2012).
- [6] M. Gondran, A. Gondran, and A. Kenoufi, *Decoherence time and spin measurement in the Stern-Gerlach experiment*, Foundations of Probability and Physics-6 (Växjö, Sweden, Juin 2011), AIP Conf. Proc. 1424, pp.116-120 (2012). *Quantum computer feasibility and quantum mechanics interpretation*, Annales de la Fondation Louis de Broglie **34** n°2, 131-141, 2009.
- [7] C. Dewdney, P.R. Holland, and A. Kyprianidis, *What happens in a spin measurement?*, Phys. Lett. A, **119(6)**, 259-267, 1986.

- [8] D. Bohm, and B.J. Hiley, *The Undivided Universe*, Routledge, London and New York, 1993.
- [9] *The vector Representation of Spinning particle in the Quantum Theory*, 1, Prog. Theor. Phys., **14**, n°4, 283, 1955.
- [10] M.Gondran, and A. Gondran , *Numerical simulation of the double-slit interference with ultracold atoms*, Am. J. Phys. **73**(5), May 2005.